

早稲田大学大学院 学生頃の清水 啓之
早稲田大学理工学部 正員 平嶋 政治
早稲田大学理工学部 正員 依田 照彦

1. まえがき

鋼箱桁橋における中間ダイアフラムの設計については、BEF-Analogyに基づいた提案¹⁾が、いくつかなされていながら、その設計過程は、やや煩雑であり、改良の余地が残されていると考えられる。

そこで、本報告では、Beam-Analogy²⁾に基づき、断面変形に伴うそり応力や変形量について、数値解析を行い、より簡易な中間ダイアフラムの設計法について、一提案を行った。

2. Beam-Analogyに基づく数値解析

図1に示すようなBeam-Analogyにおいては、断面変形量は、たわみに相当し、ダイアフラム剛度は、弾性バネ定数に対応している。さらに、梁に生じる曲げモーメントを、すり荷重によって生じるそりメント M_{DW} に対応させれば、そり応力 σ_{DW} は、

$$\sigma_{DW} = \frac{M_{DW}}{I_{DW}} \phi \quad (1)$$

で表わせる。³⁾

そこで分布すり荷重 q_{sv} 、集中すり荷重 P_{sv} によって生じる最大曲げモーメントを、無次元化し、さらにパラメータ: $\alpha = EI_{DW}/k l_D^3$ を用いて、その関係を示すと、図2, 3のようになる($0 < \alpha \leq 2.0$)。これらの図から、発生するそり応力は、ダイアフラム数:n=36において収束していることが明らかである。これらの曲線群を簡単な近似式で、以下のように置きかえると、そり応力 σ_{DW} は、 α の簡単な関数で示すことができる。

$$M_{DW} \cdot \phi / P_{sv} l_D = 0.25 + 0.14 \sqrt{\alpha} \quad (2)$$

$$M_{DW} \cdot \phi / q_{sv} l_D^2 = 0.09 + 0.29 \sqrt{\alpha} \quad (3)$$

このことから、断面変形によって生じるそり応力 σ_{DW} を、ある許容応力度 $\sigma_{DW.ca}$ 内に抑えようとするものであれば、ダイアフラム間隔によって、必要ダイアフラム剛度は、次式で規定される。

$$k = \frac{(C_2 l_D + C_4 l_D^2)^2 \cdot E I_{DW}}{l_D^3 (I_{DW.ca} \cdot I_{DW} / \phi - C_1 l_D - C_3 l_D^2)^2} \quad (4)$$

ただし、 $C_1 = 0.25 P_{sv}$, $C_2 = 0.14 P_{sv}$, $C_3 = 0.098$, $C_4 = 0.298$

式(4)において、ダイアフラム剛度無限大の時、ダイアフラム間隔 $l_{D,max}$ は、最大となり、

$$l_{D,max} = \frac{-C_1 + \sqrt{C_1^2 + 4 \sigma_{DW.ca} \cdot I_{DW} \cdot C_3 / \phi}}{2 C_3} \quad (5)$$

で与えられる。

$\alpha > 2.0$ の場合には、ダイアフラム数(バネ支承数)によって $M_{DW} \cdot \phi / P_{sv} l_D$ 、図3 集中すり荷重による最大そりモーメント $M_{DW} \cdot \phi / q_{sv} l_D^2$ の値が、大きく変化し、さらに、その値が増大するため、設計を行う上では、ダイアフラム間隔が、過少になる傾向がある。そこで、 $\alpha = 2.0$ を1つの臨界点と考え、ダイアフラム間隔 $l_{D,cr}$ を次式で与えるものとする。

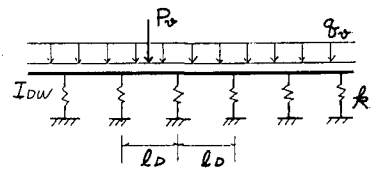


図1 Beam-Analogy

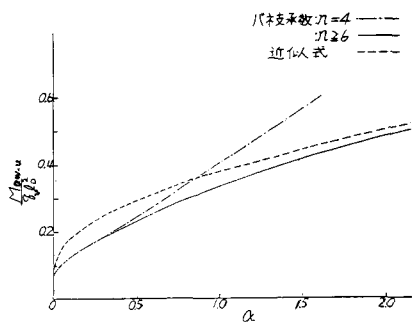


図2 分布すり荷重による最大そりモーメント

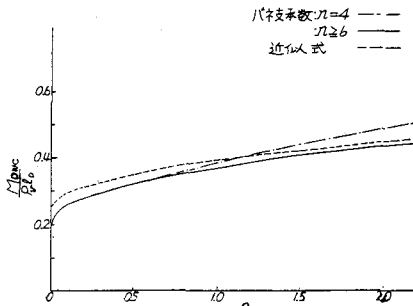


図3 集中すり荷重による最大そりモーメント

$$l_{D,cr} = \frac{-C_6 + \sqrt{C_6^2 + 4I_{DW}c_a I_{DW}C_5/\phi}}{2C_5} \quad (6)$$

ここに、 $C_5 = 0.58\phi$, $C_6 = 0.45P_\phi$ である。

その結果、ダイアフラム間隔 l_D が、 $l_D < l_{D,cr}$ の場合には、ダイアフラム剛度 k は、次式で求められることになる。

$$k = E I_{DW} / \alpha_{cr} \cdot l_D^3 \quad (\text{ただし, } \alpha_{cr} = 2.0) \quad (7)$$

従って、 $l_D = l_{D,cr}$ の時に、必要ダイアフラム剛度は、最小となり、 l_D がこれ以上小さくなつても、ダイアフラム剛度は、かえって大きなものが、必要となってくると考えられる。なお、ダイアフラム数: $n=4$ の場合には、 $\alpha = 0.8$ で、臨界点を有するため、定数 C_5, C_6, α_{cr} は、以下の値をとる。

$$C_5' = 0.358\phi, \quad C_6' = 0.38P_\phi, \quad \alpha_{cr}' = 0.8$$

次に、断面変形量 V についても、同様に考えてみる（図4,5参照）、パラメータ α を用いて、次式のような、簡単な近似式に置きかえることができる。

$$V_c = \frac{P_\phi l_D^3}{E I_{DW}} (0.025 + 0.375\alpha^{\frac{1}{3}}), \quad V_u = \frac{P_\phi l_D^4}{E I_{DW}} (0.05 + \alpha) \quad (8,9)$$

式(8),(9)を用いれば、実際の断面変形量が、許容し得る断面変形量内であるかどうかを、容易にチェックすることができます。

3. 簡易設計法

以上のことをより、中間ダイアフラム簡易設計法について、図6のようなフローchartを提案する。断面定数、すり荷重、許容剪力より、最大ダイアフラム間隔 $l_{D,max}$ 、必要剛度が最小となるダイアフラム間隔 $l_{D,cr}$ が、一意的に求まる。この2つの値より、ダイアフラム間隔 l_D を、施工上等のこと考慮した上で、仮定する。一般的には、 $l_{D,cr} < l_D < l_{D,max}$ を満たすように、 l_D を決定することができる。

l_D, k が、仮定されたならば、パラメータ α の値が決まらるので、式(8)(9)より、断面変形量の検証を行う。この時、許容値を超えていくようであれば、ダイアフラム剛度 k を大きくするなどして、許容値内に抑えるようにしなければならない。

4. あとがき

本報告では Beam-Analogy に基づく中間ダイアフラムの簡易設計法について明らかにした。特に、簡単な設計式を用いながら、適切なダイアフラム間隔や剛度を決定できる設計法を提案した。また、従来の設計法では触れていないが、断面変形量についても、設計条件として、考慮できるように配慮した。

参考文献

- 1) 小松定史・長井正嗣: 中間ダイアフラムの新しい設計法に関する研究, 土木学会論文報告集, 第326号, 1982年10月.
- 2) 坂井藤一・長井正嗣: 鋼箱桁橋の中間ダイアフラム設計法に関する一試案, 土木学会論文報告集, 第261号, 1977年5月.
- 3) 小松定史: 鋼構造の補剛設計, 森北出版, 1982年6月.

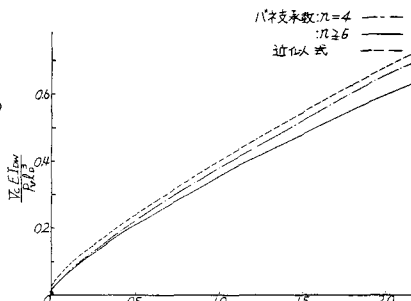


図4 集中すり荷重による最大断面変形量

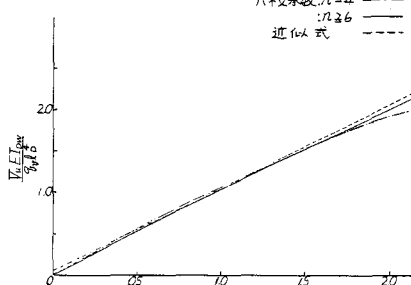


図5 分布すり荷重による最大断面変形量

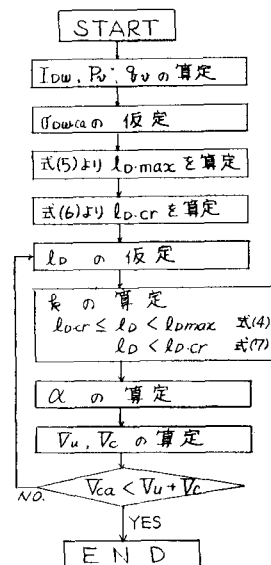


図6 設計フローchart